

2000

SMART 가

## Heat Transfer Analysis of a Wet Thermal Insulation of the SMART Pressurizer

150

SMART  
(System-integrated Modular Advanced Reactor)  
가  
가  
가  
가  
SMART  
가  
SMART  
가

### ABSTRACT

Heat transfer characteristics of a wet thermal insulation have been studied using a commercial CFD code. The self-pressurized pressurizer of the SMART(System-integrated Modular Advanced Reactor) passively absorbs the system pressure variation by a relatively large volume of nitrogen and water vapor. In order to minimize the pressure variation during the power maneuvering, a low temperature pressurizer concept is adopted in the SMART. For this concept, the pressurizer cooler and the wet thermal insulation are installed in the SMART pressurizer. In this study, the heat transfer characteristics of the wet thermal insulation are analyzed numerically and the empirical correlations are evaluated to check the applicability to the SMART design.

1.

가 가

1  
SMART 가

가

[1]. 가 1 , /  
 , 가 SMART 가  
 가 1 가 .  
 가 가 , 가 가  
 1 (Wet thermal insulation)가 [2].

CFX SMART 가 .

## 2.

### 2.1

가 가 가  
 . Rayleigh/Jefrace 가 가  
 Ra 가 [3]. Ra

$$e = f(Ra) = I_e / I_f \quad (1)$$

$$Ra = \frac{gd^3 b \Delta T}{an}$$

$\lambda_f$   $\lambda_e$  가 .

Mull/Recher, Griffiths/Davis, Schmit, Nusselt

[2]. Boyarintsev  $10^4 < Ra < 10^7$  Ra  
 가 1/3 . Chirkin Boyarintsev  
 [4].

$$e = 0.062(Ra \cdot k)^{1/3} \quad (2)$$

k 1 , 가 k 3 .  
 $Ra < 10^4$   $Ra < 10^3$

,  $\epsilon$  1 Ra 가 1000 4000 가

## 2.2

Ra 가 Ra (2) Ra=4200  
 , 가 200 °C 10 °C 가 가 1mm 가  
 , (2) 가 가 . ε=1

$$R = \frac{7.5}{l_f} \left( \frac{an}{b\Delta T} \right)^{1/3} \cdot n^{4/3} \quad (3)$$

n 4/3  
 (3) ε=1 가  
 , δ 가

## 2.3 CFX 가

### 2.3.1

. 1 가 2 가  
 가 가 Boussinesq , 2 , ,

$$\frac{\partial u}{\partial x} + \frac{\partial v}{\partial y} = 0 \quad (4)$$

$$ru \frac{\partial u}{\partial x} + rv \frac{\partial u}{\partial y} = -\frac{\partial p}{\partial x} + m \left( \frac{\partial^2 u}{\partial x^2} + \frac{\partial^2 u}{\partial y^2} \right) \quad (5)$$

$$ru \frac{\partial v}{\partial x} + rv \frac{\partial v}{\partial y} = -\frac{\partial(p + r_\infty gy)}{\partial y} + m \left( \frac{\partial^2 v}{\partial x^2} + \frac{\partial^2 v}{\partial y^2} \right) - rgb(T - T_\infty) \quad (6)$$

$$u \frac{\partial T}{\partial x} + v \frac{\partial T}{\partial y} = \alpha \left( \frac{\partial^2 T}{\partial x^2} + \frac{\partial^2 T}{\partial y^2} \right) \quad (7)$$

### 2.3.2

CFX-4.2 (Non-staggered grid) SIMPLE [5] . 가  
 . 2 . 가  
 1 가 310 °C 가 70 °C 가  
 가 1 12 °C 가 20 가 [6,7].  
 CFX-4.2 False time step[8] .

### 3.

0.8mm, 8mm, 15mm, 50mm 가  
 . 3 y=2m . 0.8mm  
 가 가 가  
 가 0.8mm  
 . 3 0.8mm  
 . 4 y=1m, 2m, 3  
 m 가 1 가  
 가 가 가  
 가 가 . 5  
 y=2m  
 가 가 가  
 . 6 y=1m, 2m, 3m 가  
 0.8mm 가  
 . 7 (2) 가 ε  
 가 (2)

[9]. SMART SMART

(2) 가 가

(3) . 8 5

. 9 y=1, 2, 3m

(3) 가

가 . 10 5 (3)

. 7 가

4.

SMART 가

가

(ㄱ) SMART

(2) 가 가

(ㄴ) 5 가

(3) 가 가

(3)  $\epsilon=1$  가

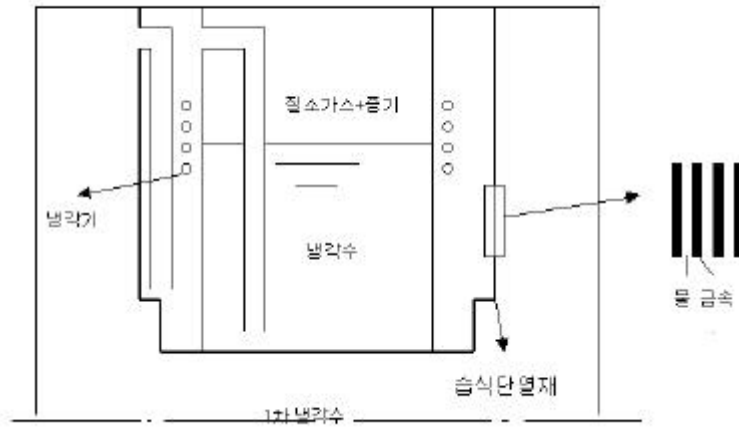
(ㄷ) 가

1. , “ , ” KAERI/RR-1438/94, , 1995.7.

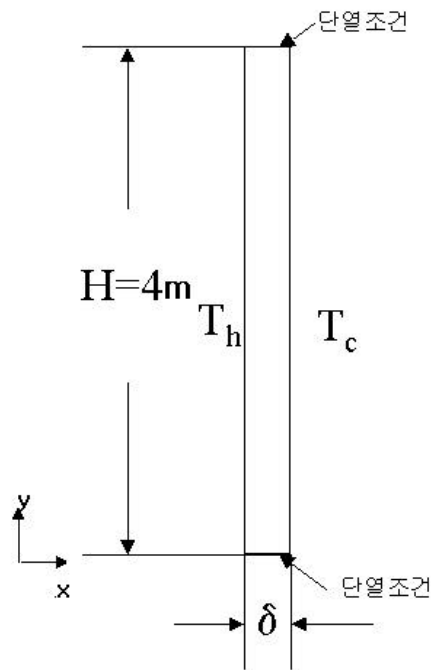
2. , “ 가 , ” ’97  
 , Vol. 1, pp. 380-385, 1997.

3. Boyarintsev, D. I., “Heat Transfer in Fluid and Gaseous Layers,” Engineering Physics Journal, 20, issue

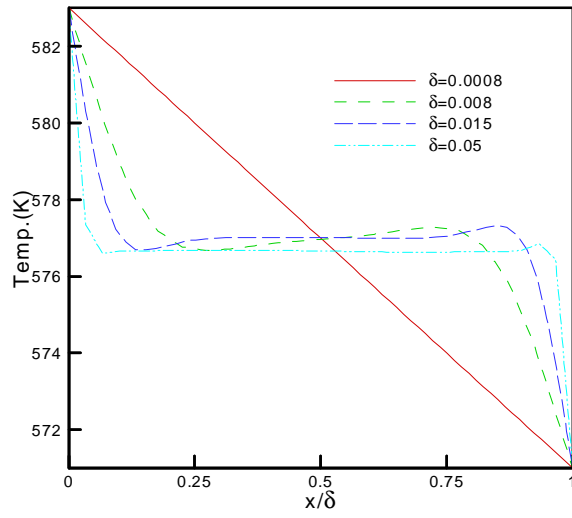
- 9,1950.
4. Chirkin, V. S., *Thermal Properties of Materials(Reference Manual)*, State Publishing House of Mathematical and Physical Literature, Moscow, 1959.
  5. Partankar, S. V., *Numerical heat transfer and fluid flow*, Hemisphere, 1983.
  6. , “ 가  
 ,” , 1997.
  7. , “SMART Heatup 가  
 ,” KAERI/TR-1253/99, , 1999.
  8. CFX-4.2 User Manual, AEA, 1997.
  9. Holman, J. P., *Heat Transfer*, McGraw-Hill, 1996.



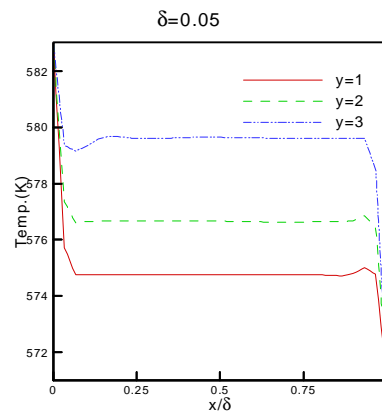
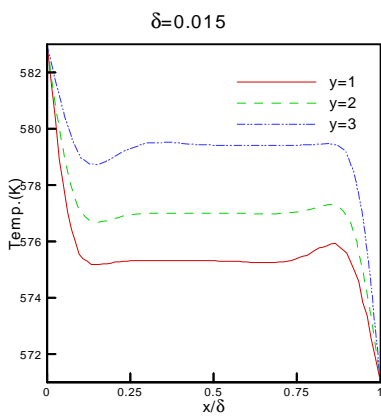
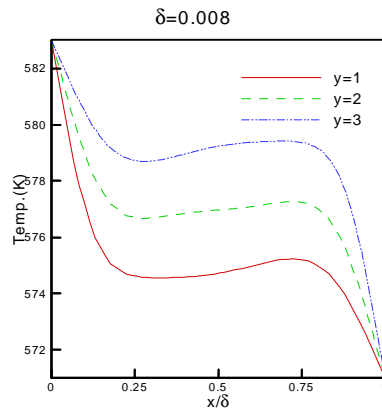
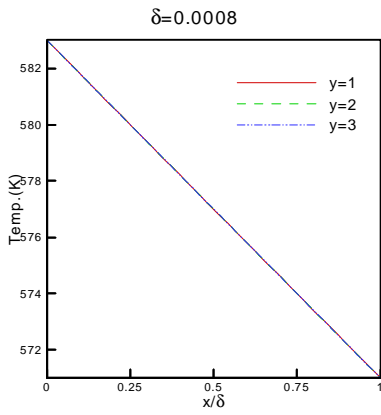
. 1 가



. 2

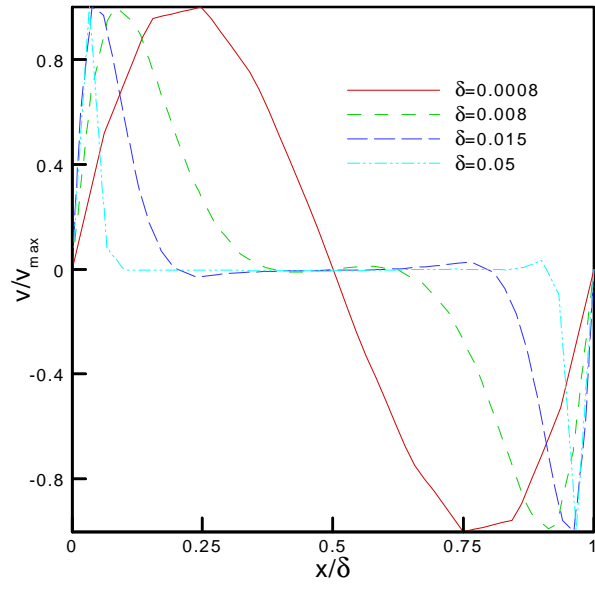


. 3 y=2m

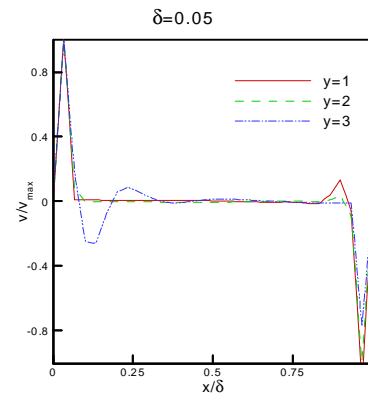
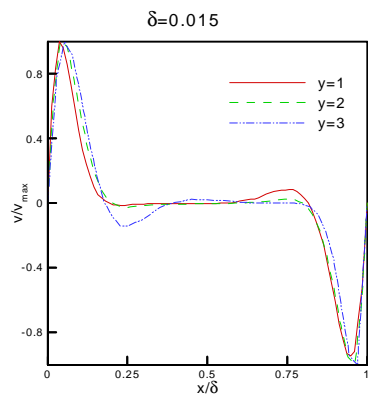
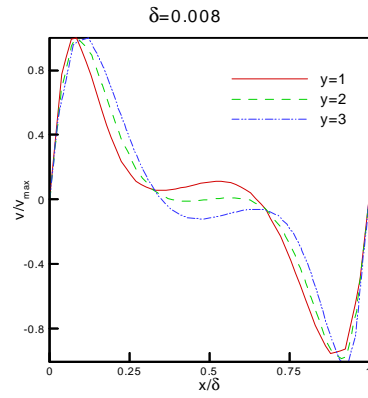
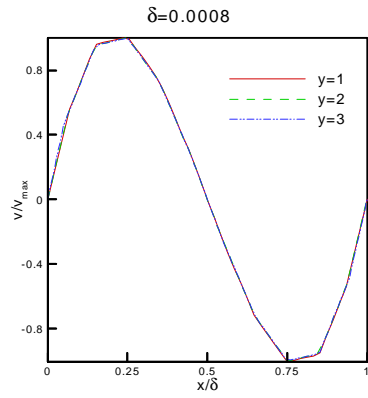


. 4

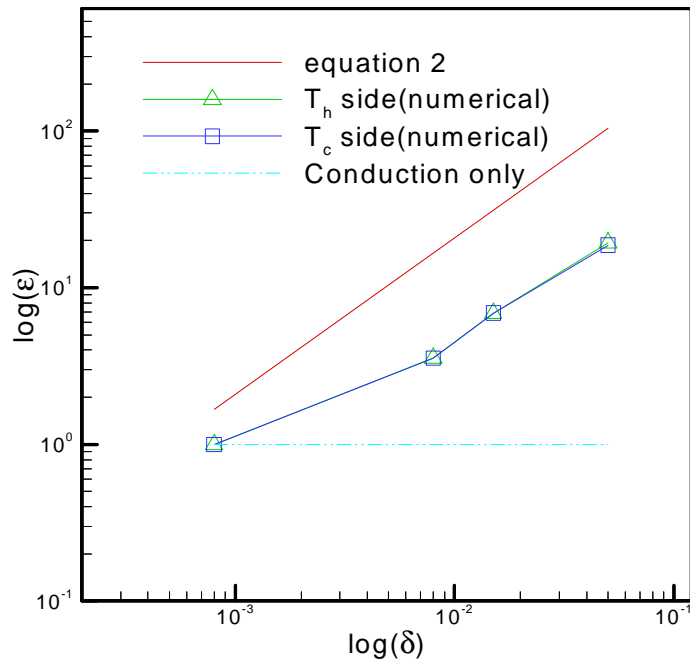




.5  $y=2m$

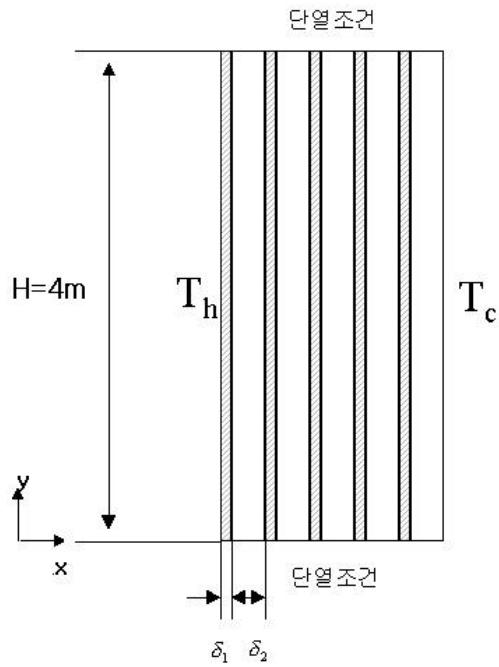


.6



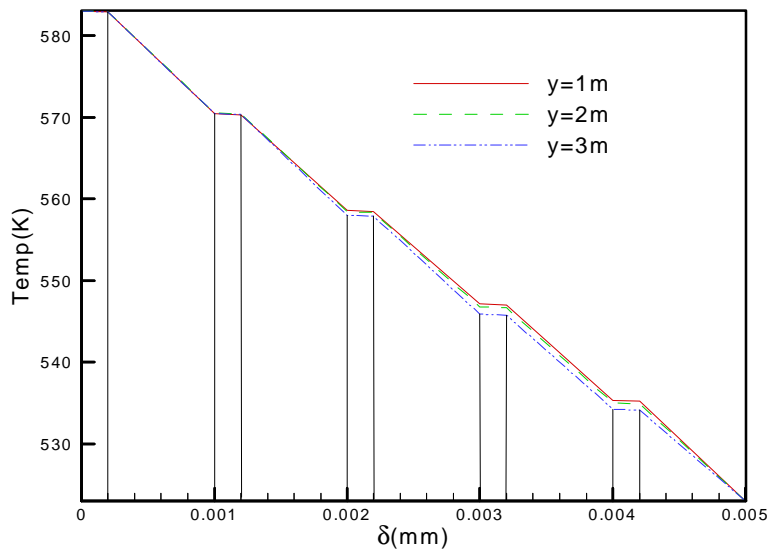
.7

(2)

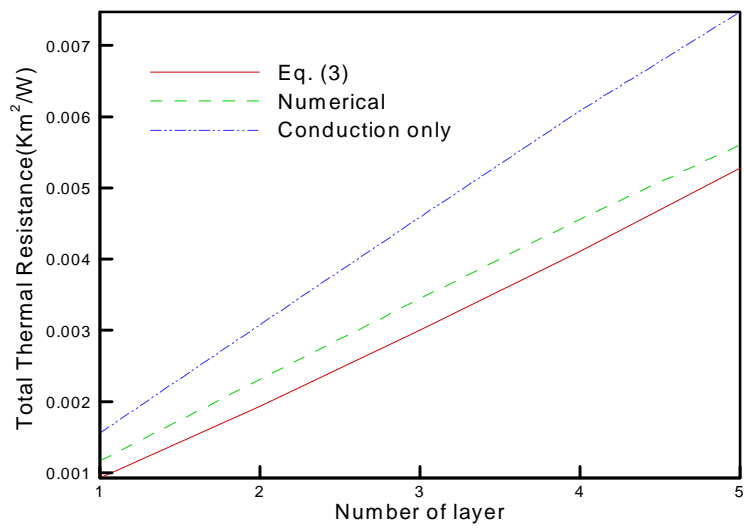


.8

( $H=4\text{m}$ ,  $\delta_1=0.2\text{mm}$ ,  $\delta_2=0.8\text{mm}$ )



. 9 5



. 10 5